

東京大學
地震研究所汇报

第51号 第1-4册

昭和51年



BULLETIN
OF THE
EARTHQUAKE RESEARCH INSTITUTE
UNIVERSITY OF TOKYO

VOL. 51

1976

東京大学

地震研究所彙報

第 51 号

昭 和 51 年

1. 東京の基盤構造

第1回第2回夢の島爆破実験による地下深部探査

地震研究所	嶋	悦	三
	柳	沢	住
	工	藤	嘉
	吉	井	憲
	一ノ瀬	敏	一郎
		洋	洋一郎
東京工業大学	瀬	尾	大
東京学芸大学	山	崎	介
埼玉大学	大	保	人
早稲田大学	山	本	俊
法政大学	小	口	康
竹中技術研究所	長	雄	正
		能	武

(昭和 51 年 4 月 16 日受理)

1. はじめに

合理的かつ経済的な地震対策は、その場所で将来遭遇するであろう地震力の見通しの上にはじめて達成されるものである。これには地震予知の実用化もさることながら、強震地動の一般的な性質を広い周期帯域にわたって詳しく知る必要がある。この目的のために、世界各国で強震計による地震観測がさかんにおこなわれるようになり、短周期領域では、強震地動の性質が次第に明らかにされつつある。ここで短周期とは、2秒程度より短いという程の意味である。強震計は多くの場合、地動加速度に比例した出力をうるよう設計されている。したがって、その周期特性から見ても明らかなように、さきにのべた2秒程度よりも長い周期帯域をしらべるには必ずしも適当でない。一方、地震学の分野では、今まで地殻やマントルの構造を調べるために研究の主力がそそがれてきたこともあり、研究されてきた地震波の周期は20秒程度以上となっている。そのため、2~20秒の帯域での地震波の性質については、殆どわかっていないというのが現状である。気象庁の1倍強震計による常時観測が行われてはいるが、記録速度が毎分8cmとときわめておそく、波形のこま

* 人工地震の観測は、首都圈基盤構造研究グループにより行われた。メンバーおよび所属は次の通りである。

嶋 悅三、柳沢馬住、工藤一嘉、浅田鉄太郎、座間新作、浅野周三、吉井敏麿、一ノ瀬洋一郎、田中貞二、坂上 実(東京大学地震研究所)、小林啓美、瀬尾和大(東京工業大学)、小牧昭三、大保直人(埼玉大学)、山崎謙介(東京学芸大学)、遠藤源助、山本喜俊、安原 清(早稲田大学)、小林直太(中央大学)、小口雄康(法政大学)、寺島 敦、服部定育(建設省建築研究所)、吉田昭夫、家久雅敏(東京都建築材料検査所)、長能正武(竹中技術研究所)

かな性質の議論は困難であるといわざるを得ない。最近では、5秒、10秒といった工学的には長周期の固有周期をもつ構造物が急速にふえつつある。したがって、強震地動的一般的性質を知るためにも、現在かけている長周期帯域での地震観測をすすめる必要がある。そして数多くの地震記録が得られるならば、これ等を解析することにより、統計的な手法を用いて長周期帯域での地動の性質を明らかにしていくであろう。このような手段で得られる地震動の特性は平均的なものと考えられ、かならずしも特定の場所での地動を与えるものではない。

特定の場所での強震地動を知る一つの手段として、以下に述べるような考え方がある。震災地を詳しく調べてみると、高高數十米しか離れていない2地点でも、震害の度合が著しく異なることがある。実際にこのような地点に地震計を設置して地震観測をしてみると、その波形はとうてい同じ地震とは思えない程異なっていることが多い。震源から2地点までの距離は同じと考えてよいから、このような地震波の変形は、地表ごく近くでおこされたと考えざるを得ない。このことがS波速度の地下分布と密接な関係があることが、実測面からも証明されている。そこで、我々は、地下適当な深さに、その地域に広く存在す

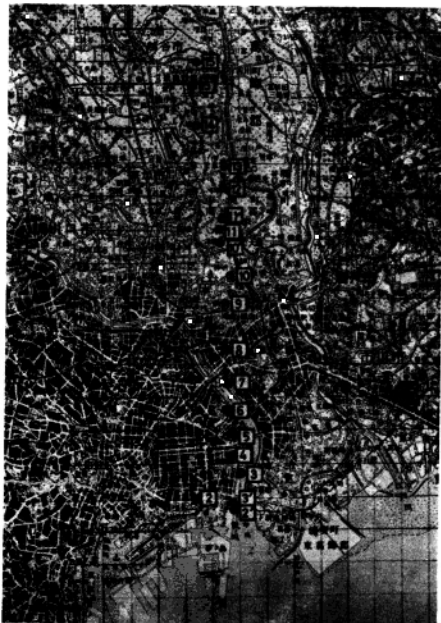


Fig. 1. The map showing shot points and observation points.

る地層、出来れば共通の S 波速度をもつ地層を地震基盤と考え、そこで入力地震波形は共通と考えよう。2地点での波形の差は、地震基盤から上の表層の差異によると考えるのである。工学的には、この基盤に入射する地震波を、前記の手法によって得られる一般的な特性をもつものを採用し、個々の場所では、その土地固有の周期特性、すなわち、表層の影響を考慮した地震波を考えればよい。

このような考えに立った場合、東京においてはどの深さの地層を地震基盤として設定したらよいであろうか。固有周期が1秒以下であるような構造物を対象にする場合は、たとえば、鮮新世の土丹層 (S 波速度にして、約 0.7 km/sec) をとればよいであろう。この地層は東京の地下に広く存在しており、江東地区では地下約 200 m 位に見られるが、東京西部に行くに従い浅いところに見られるようになる。たとえば、大田区雪ヶ谷の呑川流域では、地下数米と大変浅いところに堆積している。ところで、土丹層より上の地表層内での S 波の速度構造を詳しく調べてみると、周期数秒といった、工学的にはやや長周期の地震波の変形が、地表層内で構成されるとはとうてい考えられない。当然、このような構造物を対象とする場合は、より深所に地震基盤を設定しなければならない。このように、対象とする構造物により、一々地震基盤の深度が変るのは大変まぎらわしい。地震学の成果を工学に応用する立場としては、この際、一旦地殻の最上層 (P 波速度にして、5~6 km/sec, S 波速度にして 3~3.5 km/sec 程度) にたちもどり、そこを地震基盤と考えた方が混乱が少ないと思われる。残念ながら東京では、このような基盤の深さについては、二三の推論はあるが、よくわかっていない。

我々は、以上のような観点から、東京における基盤の構造を解明し、地震対策のための基礎資料とすべく、東京都夢の島に爆破点をもうけ、そこから北方に、約 30 km におよぶ測線を設定し、2回にわたり人工地震の観測を行った。大都会における人工地震観測で、これ程大規模なものは、筆者の知る限りでは、世界でも初めてのこころみである。本報告はその第一報である。

2. 人工地震の観測結果

人工地震の観測には、1~5 Hz の固有振動数をもつ電磁式地震計を用い、磁気録音方式により記録した。

爆破点と観測点の地図を Fig. 1 に示す。第1回の爆破は、東京都夢の島 15 号地南端で行われた。薬量は 495 kg で、深さ 92 m のボーリング孔底に装填した。この際の薬長は 18.6 m であった。第2回目の爆破は、同島北端で行われた。薬量、薬長は同じである。

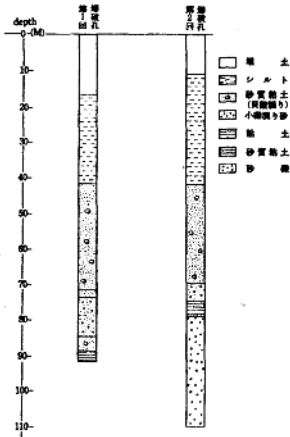


Fig. 2. The geological sections at the shot points.

Table 1. List of locations of shots and observation points and observers concerned.

第1回爆破時刻 2月23日3時4分59.66秒
第2回爆破時刻 3月30日3時4分59.06秒

観測点番号	観測点名	位置	△ (km)	観測者	
				第1回	第2回
1	発破点	139°50'18.4'' 139°50'00.4''	35°36'54.2'' 35°37'57.5''	大場・樋・岩(日本物探), 岩(慶研)	
2'	新砂町 3	139°50'45.2''	35°38'43.4''	鈴木・五十嵐(日サク)	
3'	南砂町 2	139°50'47.5''	35°39'51.8''	伯野・松井・井上(慶研)	
2	小名木川水門	139°51'24.3''	35°40'00.0''	長能・大井・吉田(竹中工務店)	
3	第3大島	139°51'02.2''	35°40'46.0''	工藤・服部・田中・加藤・新井(慶研, 建研, 東洋大)	
4	小松川第2中	139°50'42.7''	35°41'17.4''	小林・安原・今井・野口・呂崎・吉野(中大, 早大)	
5	平井西小	139°50'46.9''	35°41'56.6''	遠藤・山本・小林・宮崎(早大理工)	
6	木根川小	139°50'33.9''	35°42'39.7''	吉田・久藤・木山・鈴木・島田(都村研)	
7	木根川小	139°50'36.6''	35°43'27.6''	小口・山崎・鈴木・秋山・浅井・山口・井上・塙治(法政大, 東洋大)	
8	宝木塚小	139°50'31.3''	35°44'30.4''	小林・潮尾(東工大)	
9	北三谷小	139°50'32.6''	35°45'51.1''	田中・坂上(慶研)	
10	中川小	139°50'43.3''	35°46'37.8''	渡田・A. ALLAM, M. SAKR	
10'	南蔵院	139°50'21.3''	35°47'39.8''	小林・潮尾(東工大)	
11	八潮第4小	139°50'19.5''	35°48'02.0''	吉井(慶研)	
11'	衛星点	139°50'24.9''	35°48'21.2''	吉井(慶研)	
12	八潮中	139°50'28.0''	35°49'12.4''	浅野・一ノ瀬(慶研)	
13	八潮第1小	139°50'30.7''	35°49'56.6''	寺島・小柳水(建研)	
14	川柳中	139°49'27.4''	35°51'05.4''	小牧・大保(埼玉大)	
15	大相模小	139°49'27.4''	35°53'00.0''	潮沢・行方・座間(慶研, 東洋大)	
15'	衛星点1	139°49'18.5''	35°52'21.5''	潮沢・行方・座間(慶研, 東洋大)	
16	衛星点2	139°49'02.9''	35°56'32.9''	35.02	

が、ボーリングは深さ 110 m まで行った。Fig. 2 に、これ等ボーリング地点の大よその柱状図を示す。爆破時刻は、それぞれ、1975 年 2 月 28 日 3 時 4 分 59.664 秒、同 3 月 30 日 3 時 4 分 59.061 秒であった。

Table 1 に、各観測点の位置、観測者等をかかげてある。観測点番号、2', 3' のデータは、我々のグループと関係なく独自に観測され、後に提供をうけたものである。各観測点、特に東京都内では、幹線道路に非常に近いところもあり、ノイズが大きく、人工地震波がそれにかくされてしまうのではないかと心配された。都内では昼間のノイズが 10 m kine のレベルを越えることがまれではない。しかし、深夜では一般にかなり小さくなる。それでも、もっとも静かな時、静かな場所でも 200μ kine を下ることはなかった。測線長に較べ、大量の火薬爆発を必要とするゆえんである。ちなみに、今回の観測で最遠点での最大振幅は $2\sim3$ m kine であった。なお、しっかりした構造物の基礎に地震計を設置することが、ノイズをへらす意味で効果があった。

Fig. 3, Fig. 4 が得られた観測記録の一部である。第 1 回に較べ、第 2 回の波形は短

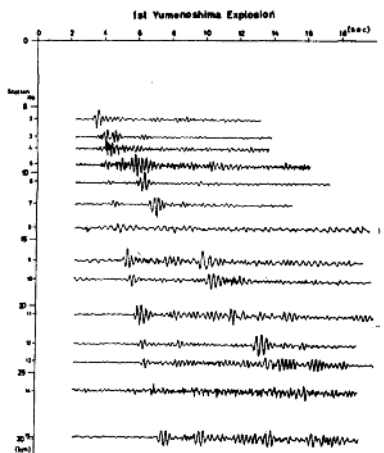


Fig. 3. Seismograms obtained by the 1st Yumenoshima Explosion.

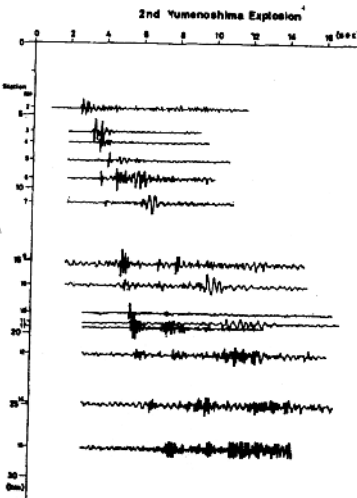


Fig. 4. Seismograms obtained by the 2nd Yumenoshima Explosion.

周期が卓越しているのは興味深い。同じ場所で観測しているのであるから、原因は、ソース・スペクトルの違いと考えざるを得ない。Fig. 2 に見られた、爆破地点での地質の差異によるのかも知れない。Table 2 に読みとった P 波初動および後続位相の走時がかかる。Table 3 は S 波の走時である。 S 波の走時が、第 1 回爆破で少ないので、各班とも上下動地震計を主力とする観測体制をとったためである。第 2 回爆破の時には、多

Table 2. List of travel times for P-waves.

觀測點 番号	銀測 点	位 置		Δ (km)	初震走時 (sec)		後續位相走時 (sec)	
		東	西		北	緯	第1回	第2回
1	発破 点	139°50'18.4"	139°50'00.4"	35°36'54.2"	35°37'37.5"	4.04	2.30	2.75 4.50
2'	新砂町 3	139°50'45.2"	35°39'48.4"	4.31	2.49	2.82		
3'	南砂町 2	139°50'47.5"	35°39'51.8"	5.93	3.24	3.32		
2	南砂町 2	139°49'24.3"	35°40'00.0"	7.23	6.01	3.08	3.82	
3	小名木川木門 3	139°51'02.2"	35°40'46.0"	8.14	6.86	3.20	4.14	3.68
4	大島小 小堀川第2中	139°50'42.7"	35°41'17.4"	9.35	8.07	3.72	4.44	4.08 4.67
5	平井西小	139°50'33.9"	35°41'56.6"	10.66	9.35	4.00	3.61	4.51
6	木俣川小	139°50'36.6"	35°42'27.6"	12.31	11.01	4.21	3.97	5.91 5.03
7	宝木塚小	139°50'31.3"	35°44'30.4"	14.07	4.68	5.44	5.44	
8	北三谷小	139°50'32.6"	35°45'51.1"	16.55	15.23	4.80	7.48	6.81 7.82
9	中川小	139°50'43.3"	35°46'37.8"	18.00	16.09	5.34	5.36	6.89 9.47
10'	南蘆院	139°50'21.3"	35°47'39.8"	18.57	5.38			7.31 9.94
11	八溝第4小	139°50'19.5"	35°48'02.0"	20.58	19.25	5.77	5.46	7.46 10.37
11'	衛星点	139°50'24.9"	35°48'21.2"	19.85	5.68			7.12 10.26
12	八溝中	139°50'28.0"	35°49'12.4"	22.76	21.43	5.96	7.84 12.64	7.77 12.04
13	八溝第1小	139°50'30.7"	35°49'56.6"	24.11	22.29	6.23	6.28	8.04
14	川橋中	139°49'27.4"	35°51'05.4"	26.27	24.91	6.73	6.40	
15	大相撲小	139°49'27.4"	35°53'00.0"	29.80	28.49	7.29	6.96	8.98 9.84
15'	衛星点1	139°49'18.5"	35°52'21.5"	27.26			6.72	7.01 8.73
16	衛星点2	139°49'02.9"	35°56'32.9"	35.02			7.99	9.44

Table 3. List of travel times for S-waves.

観測点番号	観測点	位 置		Δ	(km)	後輪位相走時 (sec)		
		東 鋼	北 桐			第 1 回	第 2 回	第 1 回
1	発 破 点	139°50'18.4"	35°36'54.2"					
		139°50'00.4"	35°37'37.5"					
2'	新 砂 町 3	139°50'45.2"	35°39'43.4"					
3'	南 砂 町	139°50'47.5"	35°39'51.8"					
2	南 砂 町 2	139°49'24.4"	35°40'00.0"	5.98	4.49			
3	小名木川水門	139°51'02.2"	35°40'46.0"	7.23	6.01			
4	第 3 大島 小	139°50'42.7"	35°41'17.4"	8.14	6.86			
5	小松川第 2 中	139°50'46.9"	35°41'56.6"	9.35	8.97			
6	平 井 西 小	139°50'33.9"	35°42'39.7"	10.66	9.35			
7	木 棍 川 小	139°50'36.6"	35°43'27.6"	12.31	11.01			
8	宝 木 塚 小	139°50'31.3"	35°44'30.4"	14.07				
9	北 三 谷 小	139°50'32.6"	35°45'51.1"	16.55	15.23			
10	中 川 小	138°50'43.3"	35°46'37.8"	18.00	16.69			
10'	南 蔗 院	139°50'21.3"	35°47'39.8"		18.57			
11	八 潟 第 4 小	139°50'19.5"	35°48'02.0"	20.58	19.25			
11'	衛 星 点	139°50'24.9"	35°48'21.2"		19.85			
12	八 潟 中	139°50'28.0"	35°49'12.4"	22.75	21.43			
13	八 潟 第 1 小	139°50'30.7"	35°49'56.6"	24.11	22.29			
14	川 桐 中	139°49'27.4"	35°51'05.4"	26.27	24.91			
15	大 相 模 小	139°49'27.4"	35°53'00.0"	29.80	28.49			
15'	衛 星 点 1	139°49'18.5"	35°52'21.5"		27.26			
16	衛 星 点 2	139°49'02.9"	35°56'32.9"		35.02			

くの班で、補助点に水平動地震計を用いて、*S*波も観測出来る体制をととのえたのである。

Fig. 5, Fig. 6 はそれぞれ *P*波 *S*波の走時図である。いずれも、爆破点を原点にあ

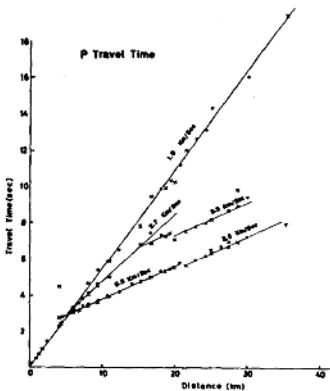


Fig. 5. *P*-wave travel times for 1st and 2nd Yumenoshima Explosions.

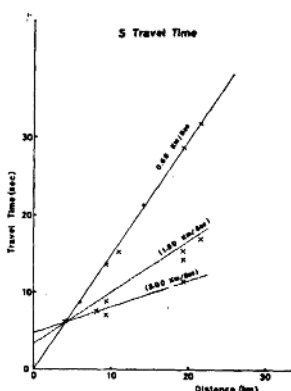
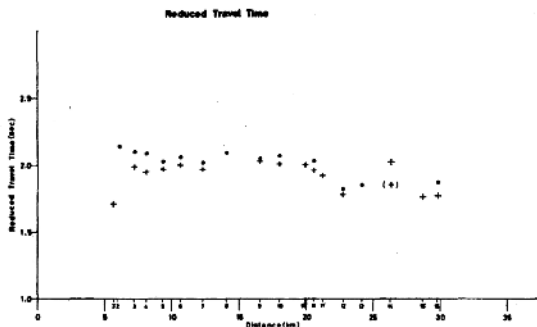


Fig. 6. *S*-wave travel times for 1st and 2nd Yumenoshima Explosions.

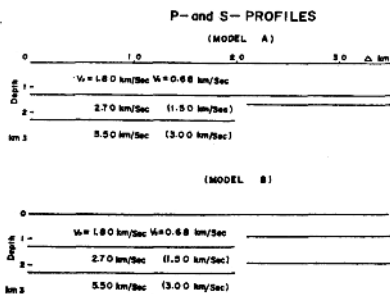
わせ、2回の観測結果を重ねて示してある。*P*波の走時に関しては、Fig. 3, Fig. 4 からもはっきりわかるように、初動に統いて、初動の位相速度と同じ位相速度をもつ後続位相がはっきり見られる。また、直接波が全測線を通じてみとめられる。第2層からの屈折波は、初動としてではなく、後続位相として見られた。距離 20 km の付近で基盤からの屈折波に走時のギャップが見られるが、直接波には見られない。これに関しては次節で述べる。*S*波の走時については、直接波ははっきりしているが、屈折波に関してはデータも少なく、位相速度を決定するまでに至らなかったが、参考のために、*P*波の位相速度より予想される *S*波のそれを点線で示しておいた。

3. 地下構造の決定

基盤をつたわる *P*波速度を決定し、また前述の走時のギャップを調べる目的で、Fig. 7 を作った。*P*波初動の各走時より、距離 4 km を 5.5 km/sec で割った時間を差し引いて示したものである。この図では、ギャップの位置を明確にする目的があるので観測点を固定し第1回の走時図に第2回の走時を重ねてかいてある。したがって、当然のことながら、第1回の爆破の走時が、第2回のそれに較べよけいにかかっている。図から、20 km 位までは、ほぼ横軸に平行であり、その先は徐々に下り、観測点 12 あたりからまた横軸に平行になっていると見てよからう。ただし、観測点 14 では、はっきりした位相の出現時間がかなりおくれている点に注意を要する。おそらく、これは初動ではないであろう。括弧のついた走時は、ノイズが重なっているため、読みとり精度のよくないものである。この点を無視すれば、走時のギャップは、Fig. 7 より 0.22 sec となる。このようなギ

Fig. 7. Reduced travel times for P -waves.

ップが走時に生ずることの説明には、この場合北側の基盤が上っている断層を考えるのがもっとも常識的である。今回の一連の観測は、いわゆる逆測線の観測をしていないので、基盤層の真の速度をきめることは困難である。原理的には片測線であっても、適当な距離間隔をおいて複数ヶの爆破点があれば、逆測線の代用になるはずであるが、今回の実験では、2爆破点間の距離が余儀なく近づく結果になったため、基盤層の傾きをきめ真の速度を決定するまでにはいたらなかった。そこで、暫定的に、平行層を仮定して地下構造を決めることした。Fig. 8 に二つの解を示してある。モデル A では、地表層の厚さは変ら

Fig. 8. P - and S -profiles.

ないとして、基盤層にのみ、走時のギャップの責任を負わしたものであり、この場合基盤層での落差は 780 m となる。一方、モデル B は、第二層の厚さは変わらないとしてもめたものである。この場合の落差は 400 m となる。将来逆測線の観測もおこないデータを増して確かめていきたいと考えているが、現在のところ、モデル B が現実に近いものとして提案するにとどめたい。この地下に盛り上りが見られる地点は、東京都と埼玉県境付近

である。都立大学の松田馨余氏の私信によれば、県境付近でのごく表層のボーリングのデータから、僅かではあるが、北上りの断層とも思われる構造が見られるとのことである。ただし、これが我々の見出したものと直接関係があるかどうかは不明である。

東京の地下では、 $V_s=1.8 \text{ km/sec}$, $V_i=0.68 \text{ km/sec}$ の地表層が 1.8 km の厚さで存在し、第二層は、 $V_s=2.7 \text{ km/sec}$, $V_i=1.5 \text{ km/sec}$ であり、厚さは 1.0 km ある。そして基盤層は、 $V_s=5.5 \text{ km/sec}$, $V_i=3.0 \text{ km/sec}$ であり、地表下 2.3 km にあることになる。地表層の V_s , V_i からボアン比を計算すると 0.42 が得られ、この層がいかに軟弱であるかがわかる。このような地層が 1.8 km もあるのは驚くべきことであり、東京がいかに地震に弱いかを物語っていると思われる。逆に基盤層の深さは、今までの推定よりかなり浅いことがわかった。基盤層からの屈折波のあとに、これと同じ位相速度をもつ後続位相が見られるが、これは、爆破点から一旦基盤層にいたり、そこで臨界角に近い角度で反射して地表にもどり、再び地下にもぐった波の走時を考えると、今回決定された地下構造で都合よく説明される。

4. おわりに

今回の調査の結果判明したこと重要なことは次の通りである。

- i) 東京直下では、 $V_s=1.8 \text{ km/sec}$, $V_i=0.68 \text{ km/sec}$ という軟弱層が 1.8 km も堆積している。
- ii) 中間層は、 $V_s=2.7 \text{ km/sec}$, $V_i=1.5 \text{ km/sec}$ であり、その厚さは 1.0 km である。
- iii) 基盤層は、 $V_s=5.5 \text{ km/sec}$, $V_i=3.0 \text{ km/sec}$ であり、その深さは 2.3 km であり、今までの推論よりかなり浅い。
- iv) 東京都と埼玉県境に落差 400 m 程度の北上りの基盤の盛り上りがあることが発見された。

以上夢の島での人工地震実験により、今までほとんどわかつていなかつた東京直下の構造が一部明らかにされた。今後ともこの種の調査が続行され、得られたデータが震災対策の基礎資料として十分活用されることが望まれる。

最後に、今回の調査研究にあたって、東京都防災会議の関係職員諸氏の寄せられた御助力に謝意を表したい。この忍耐強い御助力なくしては、実験の実施はもとより成功はおぼつかなかつたであろう。厚く御礼申し上げる。東京都港湾局の関係職員諸氏には、爆破点設定に関連して御世話になった。また、観測点として使用させて頂いた東京都ならびに埼玉県下の小・中学校、諸施設で御世話になった多くの方々にも御礼申し上げる。

人工地震の観測に参加され、貴重なデータを提供された首都圏基盤構造研究グループの方々にも厚く御礼申し上げる。

東京の基盤構造

1. On the Base Rock of Tokyo.

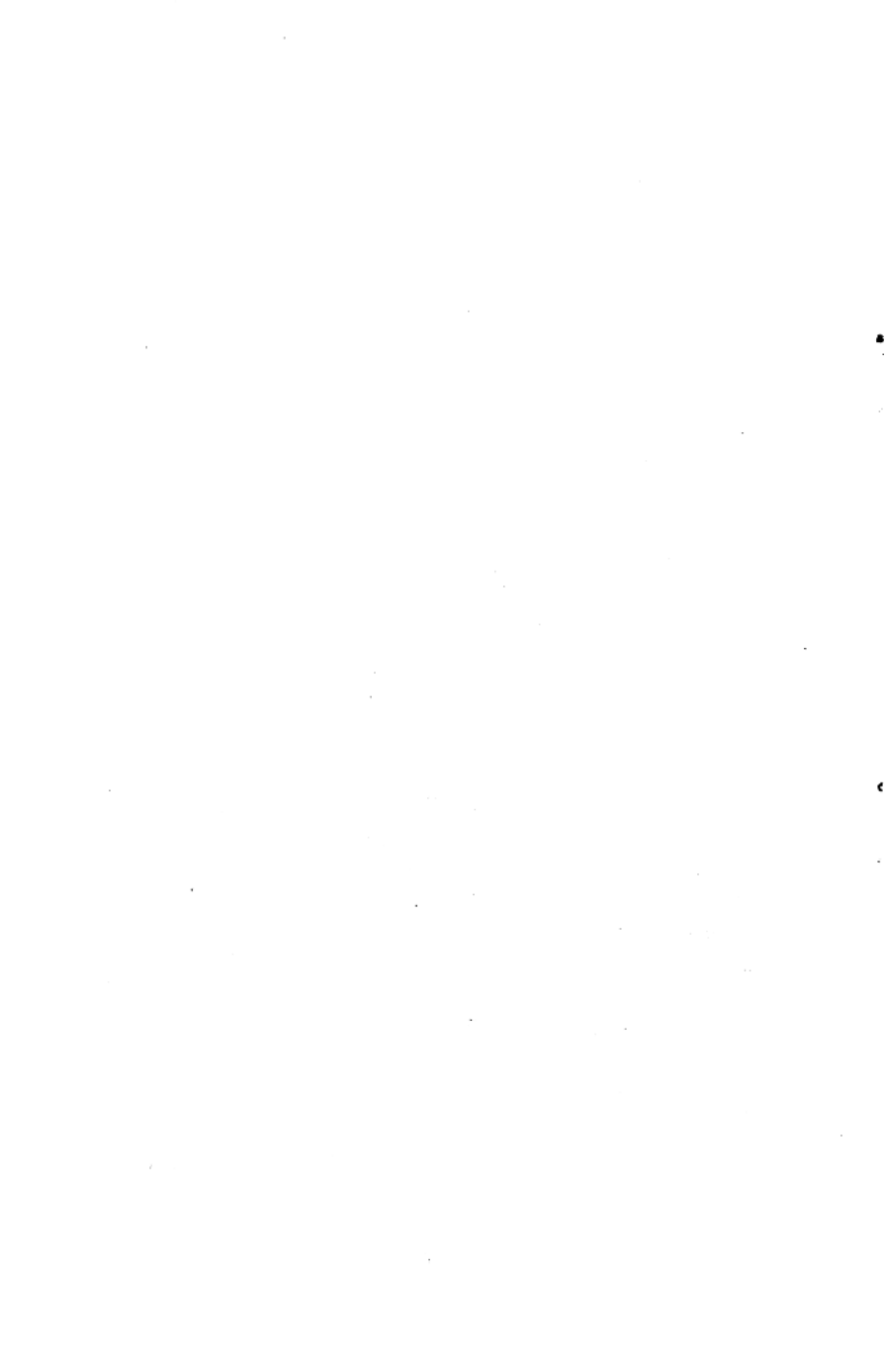
Observations of Seismic Waves Generated from the 1st and 2nd Yumenoshima Explosions.

By Etsuzo SHIMA, Masumi YANAGISAWA, Kazuyoshi KUDO, Toshikatsu YOSHII,
Yōichiro ICHINOSE,
Earthquake Research Institute;
Kazuoh SEO,
Tokyo Institute of Technology;
Kensuke YAMAZAKI,
Tokyo Gakugei University;
Naoto OHNO,
Saitama University;
Yoshitoshi YAMAMOTO,
Waseda University;
Yūkō OGUCHI,
Hosei University
and
Masatake NAGANO,
Takenaka Technical Research Laboratory.

These days, we have many structures, such as high rise buildings and huge oil tanks etc., having long natural periods from the engineering point of view, say, around 5 sec or more. We are expecting that the construction of such structures will be expanded in the future because of the economic demands. In view of antisieismic designing of such structures it is necessary to clarify the deeper underground structure down to the uppermost layer of the earth's crust at the construction sites. Because, the deeper underground structure down to this depth plays an important role associated with the modifications of seismic waves which will be dangerous to the structures. No definite data associated with the deeper underground structure of Tokyo has been available until now.

For this reason, large explosions were set off twice in Yumenoshima, the southernmost of the reclaimed land of Tokyo, and the resulting seismic waves were observed at 16 temporary observation points along the spread, 30 km in length, extending north from the shot points. The spread was not reversed. So, the underground structure was determined assuming parallel layering. The results are summarized as follows.

- i) The thickness of the surface soft layer having $V_s = 1.8 \text{ km/sec}$ and $V_i = 0.68 \text{ km/sec}$ is 1.8 km.
- ii) The thickness of the intermediate layer having $V_p = 2.7 \text{ km/sec}$ and $V_i = 1.5 \text{ km/sec}$ is 1.0 km.
- iii) The depth of the base rock was found to be 2.3 km. V_p and V_i in the base rock are 5.5 km/sec and 3.0 km/sec respectively. These values correspond to the uppermost layer of the earth's crust.
- iv) A suspected fault was found at a depth near the boundary of Tokyo Metropolis and Saitama Prefecture. The upheaval of the base rock in the northern part of the suspected fault was found to be around 400 m.



2. 安政地震 (1854 年 12 月 23 日) における 東海地方の津波・地殻変動の記録

——明治 25 年静岡県下 26 カ町村役場の地震報告から——

地震研究所 羽鳥徳太郎

(昭和 51 年 4 月 6 日受理)

1. はじめに

最近、東大理学部地球物理学教室から地震研究所へ古い地震記録・図書類が移管されたなかに、「静岡県地震報告 其二」と題した 1 冊の報告集が見出された。これは、明治 26 年 12 月 25 日に静岡県知事から東大総長あてに回答された安政地震の通信調査の報告書である (Fig. 1)。県下 26 カ町村役場から寄せられた報告書は、2~3 の付図を加え全体で 68 枚からなり、和紙に毛筆で書かれている (この報告書には、このほか 380 枚からなる静岡県下の震尾地震報告も綴られてある)。

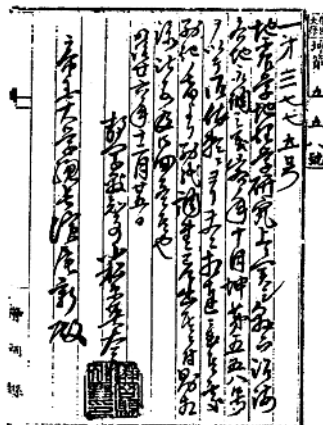


Fig. 1. Preface of the documents from the Shizuoka Prefecture Office.

調査は主に津波と地変について行われ、このうち 2~3 の地域の報告はすでに日本地震史料 (武者, 1951) に収録されているが、大部分の地域の報告は目新らしい。しかも、この調査は安政地震からわずか 38 年後に行われたもので、地震津波の体験者からの聞きこ

みの記事が各所で生きしく読みとれる。

さて、東海南海道沖は明応・慶長・宝永・安政および昭和と、巨大地震が 100~120 年の比較的規則正しい間隔で繰り返し起きてきた。最近、これら歴史地震の震度分布が再調査され（萩原, 1970, 1974）、筆者（羽鳥, 1974, 1975）は津波の波高分布、波源域を検討してきた。また、ANDO (1975) から地震の断層モデルが提出された。このように安政地震から 120 年も経過した現在、東海沖の地震に关心が高まり、1974 年 10 月に名古屋大学において東海地震シンポジウムが開かれた（安藤・深尾編, 1975）。このとき、1944 年東南海地震は安政地震の再現ではなかったかという議論が注目をひいた。その根拠として、1944 年地震は東海道地域に大きな震害を与え、余震域も東海道に伸び、地殻変動も伴ったということである。この見解に対し、静岡県下の地震報告は明確に答えていた。本稿では、まずこれらの地震報告の概要を紹介し、この記録をもとに東海沿岸各地の津波および地殻変動を考察し、波源域もあわせて検討してみたい。

2. 各地の調査報告

調査記録は当時の 26 カ町村役場から報告されたもので、その地域は Fig. 2 に示すような駿河湾から遠州灘沿岸に分布する。調査内容は、安政元年 11 月 4 日 (1854 年 12 月



Fig. 2. Map showing the investigated fields.

23 日) の午前 9 時ごろの大地震に伴った津波と地殻変動に関する 2 事項である。そのほか過去に被災した津波・高潮の記事もみられるが、地震の被害状況の報告は含まれていない。以下に各地からの報告について、津波・地変の主な記事は括弧内に原文で記述する。なお、報告中に安政地震以前の地形と現在との比較で、“現在”とはとくに断わらないかぎり明治 25 年頃をさしている。また、長さの単位は尺、間、町で記されているので脚注* にメートル単位の換算を示す。

* 1 町 = 60 間 ≈ 100 m, 1 間 = 6 尺 ≈ 1.8 m, 1 尺 = 10 尺 ≈ 3 m, 1 尋 = 6 尺 ≈ 1.8 m.

桑良本（賀茂郡東伊豆町）

「海岸の古老に水の浅深を問えば、去る安政元年甲寅11月4日豆相敷地大いに震い、下田津波、明治10年暴風怒濤のため海岸大破し、それより何となく風浪のとき船揚場に波打上がり、ときどき漁船の破損することあるという。しかし津波のため地形変化ありしや更にその証すべきところなし」とあり、当地の津波記録は記されていない。

仁科（賀茂郡西伊豆町）

佐波神社に残る明応・慶長・元禄津波の記録は、すでに地震史料に集録されているので省略する。「安政津波は10時頃の地震に次いで津波来り、波頭は正円（海岸から500mの地域）に達す」とある。また地殻変動に関しては「50年以來海底及び海岸に高低を生したるを聞かず、仮令多少の変動ありしも、漁民の性質として迂闊に観過し、意に介して之を測知する者に非す。故以て之を弁する能はす」とあり、地殻変動は認められていない。

伊浜（南伊豆町）の高灯籠山で地震にあった人の話によれば、「地震のとき西方に百雷の如き爆声を聞き、水面は水柱の如く隆起し、忽ち巨大な水輪と変じ下田・伊豆諸島及び駿河湾に進行す。初の水柱のところに忽ち凹みて擂盆の底の如く、しばらくして水また凸をなし、1凸1凹数回の後、海上ようやく治まる。翌朝、雲見岳から宇久須に至る5里の海岸に幾千万の大口魚の漂着するのを見る。魚体尾を落し、首を脱し、腹裂け肉破れて砂を含み、食するに堪えず、大口魚の死に至らしたるは、水雷火に撃れた如し」とある。

静浦（沼津市）

「安政元年11月4日 天気晴朗、寒気はなはだしく結氷強し、午前9時頃西南の方にあたり地鳴を聞くや否や強大な地震となり、次で津波起る。津波は水平面より15尺余に達せり。その引き波の勢は実に甚しく、平時の干潟より15尺余なり。故に平素見る能さりし暗礁頭はれ鷺嶼の如くなれり、爾後2回津波来り、漸次平水に復したり」。

「此地震若くは津波に起因するや詳ならざるも、同時に村内大字江浦字仲浜の寄洲（長2丁、巾1丁）、大字獅子浜小浜の海岸（長3丁、巾20間）の2個所は欠崩陥落し、深さ各10尋乃至15尋の海面となれり」。

楊原（沼津市下香貫）

地震報告書にかえて絵図が提供されている。（Fig. 3）。これには主として地名の由来、地形変遷の口碑が記されているが、地震・津波の記事をひろい出すと次のようである。

「狩野川河口右岸の地盤は、安政の地震よりおしなべて1~2寸低くなり、その証拠は田甫灌漑の水量をもって著し」。また、島郷の沼（沼津御用邸裏の塙田川流域）では、地震で10町歩ほど沈降したとある。

片浜（沼津市）

「安政元年11月4日午前10時頃、大地震の節当片浜村東間門海岸およそ60間欠崩し、屏風を立つる如き形状をなし、同所に在りし網船及松樹は根付きしまゝ漂流し、ために海岸海底共傾る高低を生し、宇松林続き官林内各所に洞穴を生し、同所妙伝寺所有地宇寺田町田面より砂石及濁水を噴出し、反別5反歩余満水し殆ど近傍の人家を浸水せんとす。該地は減水の後にして砂石の河原となり、又海岸波打際よりおよそ12間をへたて東西門川の境なる宇浜地に長50間、幅8間ばかり凹陷し、小池をなしたり」という。その後漸次